

بررسی تاثیر pH محیط بر رفتار ضدخوردگی نانوپوشش هوشمند برپایه رزین اپوکسی استر و نانوذرات پلی آنیلین

رضا عارفی نیا^{*}^۱، اکبر شجاعی^۲، حمیرا شریعت پناهی^۳، جابر نشاطی^۴

^۱ دانشجوی دکتری، دانشکده مهندسی شیمی و نفت، دانشگاه صنعتی شریف

^۲ استاد، دانشکده مهندسی شیمی و نفت، دانشگاه صنعتی شریف

^۳ استادیار، گروه پژوهش خوردگی فلزات، پژوهشگاه صنعت نفت

^{*} نویسنده مسئول: reza_arefinia@yahoo.com

تاریخ دریافت: ۱۳۹۰/۰۹/۰۲ تاریخ پذیرش: ۱۳۹۰/۱۱/۱۰

چکیده

پوشش هوشمند ضدخوردگی براساس ترکیب نانوذرات سنتز شده پلی آنیلین و رزین اپوکسی استر با موفقیت ساخته شد. عملکرد ضدخوردگی این پوشش در محیط‌های با pH مختلف (HCl و NaOH برای ساخت به ترتیب محیط اسیدی و قلیایی) با استفاده از روش الکتروشیمیایی امپدانس EIS در مدت زمان ۹۵ روز مورد ارزیابی قرار گرفته است. مکانیزم ضدخوردگی پوشش با استفاده از نتایج اندازه‌گیری به صورت نمودارهای نایکوئیست، در محیط‌های مختلف بررسی شده است. برای مقایسه کمی تاثیر pH محیط بر عملکرد ضدخوردگی پوشش، با استفاده از مدارهای الکتریکی فرایند خوردگی مدل‌سازی شده است. نتایج حاصل تایید کننده مکانیزم هوشمند نانوذرات پلی آنیلین و توانایی بالای پوشش در جلوگیری از خوردگی در همه محیط‌ها است. در این مکانیزم عوامل بازدارنده آزادشده از ذرات پلی آنیلین با یون‌های فلزی واکنش داده و یک لایه ثانویه پایدار در نقاط آسیب دیده تشکیل می‌دهد که سبب افزایش مقاومت پوشش در برایر یون‌های خورنده می‌شود. کارایی پوشش در محیط‌های با غلظت کمتر عوامل خورنده بیشتر است.

کلمات کلیدی: پلی آنیلین، خوردگی، نانوذرات، مکانیزم هوشمند.

Investigation of pH Effect on the Anticorrosion Behavior of Smart Nanocoating Based on the Epoxy Ester/Nanopolyaniline Particles

Reza Arefinia¹, Akbar Shojaei², Homeyra Shariatpanahi³, Jaber Neshati³

¹. Ph. D. Student, Department of Chemical and Petroleum Engineering, Sharif University of Technology

². Professor, Department of Chemical and Petroleum Engineering, Sharif University of Technology

³. Assistant professor, Research Institute of Petroleum Industry (RIPI)

* Corresponding Author: reza_arefinia@yahoo.com

Submission: November 23, 2011 Acceptance: January 30, 2012

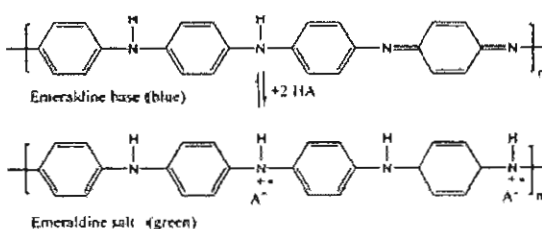
Abstract

Anticorrosive coating has been prepared through incorporation of synthesized nanopolyaniline into the epoxy ester resin. Anticorrosive performance of the manufactured coating was evaluated in the environments with different pH values based on the HCl and NaOH for acidic and basic environments, respectively. The anticorrosion measurements were performed by the electrochemical impedance spectroscopy (EIS) technique during 95 days of immersion time. Corrosion mechanism of coating was determined by the Nyquist plots analysis in different environments. The influence of pH variations on the anticorrosion performance of coating was quantitatively investigated by the electrochemical modeling. The obtained results showed smart corrosion inhibition mechanism of nanopolyaniline particles and high anticorrosive ability of the coating. Where, the reaction between released anionic inhibitor and metallic cations causes to formation of a second barrier layer in the defected situations and enhancement of coating resistance against the corrosive ions. In addition, the coating showed better performance in the environments with less corrosive ions concentration.

Keywords: Polyaniline, Corrosion, Nanoparticles, Smart mechanism.

۱- مقدمه

یک اسید عمده‌تا‌آلی به ساختار EB سبب تبدیل به ساختار ES می‌شود. بنابراین ستر پلی‌آنیلین نوع هادی در یک محیط اسیدی انجام و تغییر pH محیط سبب تغییر حالت اکسیداسیونی پلی‌آنیلین و تاثیر بر خواص ضدخوردگی پوشش نیز می‌شود.



شکل ۱: دو ساختار اکسیداسیونی اصلی پلی‌آنیلین.

تحقیقات زیادی درباره اثر ضدخوردگی پلی‌آنیلین در ترکیب با رزین‌های مختلف و در محیط‌های مختلف خوردگی انجام شده است [۸ و ۹]، ولی تاکنون تحقیق کاملی درباره تاثیر pH محیط بر عملکرد ضدخوردگی پوشش‌های دارای پلی‌آنیلین خصوصاً در حالت ES انجام نشده است. در یکی از جدیدترین کارهای علمی، نیکو^۰ و همکارانش [۱۰] رفتار ضدخوردگی پوشش برپایه پلی‌وینیل استات و ES را در شرایط مختلف اسیدی، نمکی و بازی مورد بررسی قرار دادند. در کار آنها روش ستر ذرات ES و اعمال پوشش براساس روش الکتروشیمیایی و بررسی خواص ضدخوردگی به روش پلاریزاسیون بوده است، اما در مقیاس صنعتی عموماً روش ستر شیمیایی و اعمال دستی دارای مطلوبیت بیشتری است.

در این تحقیق ستر ذرات ES به روش شیمیایی و در مقیاس نانو انجام شده و خواص ضدخوردگی پوشش برپایه اپوکسی استر (حاصل از واکنش گروه‌های اپوکسی با گروه‌های کربوکسیلیک اسیدهای چرب) و نانوذرات حاصل از ستر پلی‌آنلین نمکی (nES) با استفاده از روش EIS در محیط‌های

پلی‌آنلین به عنوان یک پلیمر هادی در کاربردهای ضدخوردگی مورد توجه محققین قرار گرفته است. نخستین بار دری^۱ [۱] در سال ۱۹۸۵ خواص ضدخوردگی یک لایه نازک پلی‌آنلین روی فولاد را بررسی کرد. از آن به بعد تحقیقات بسیار زیادی بر روی خواص ضدخوردگی پلی‌آنلین انجام شده است [۲-۵]. بطورکلی، خواص فرایندی پلی‌آنلین بهدلیل عدم اتحلال در حللاه و ذوب نشدن، ضعیف است. برای غلبه بر این مشکل، استفاده از ذرات پلی‌آنلین در ابعاد نانو و اختلاط آن با سایر رزین‌ها به عنوان پوشش مورد توجه قرار گرفته است [۶].

مکانیزم ضدخوردگی بسیاری از پوشش‌ها عموماً به واسطه خواص ممانعی^۲ آنها است. در این نوع پوشش‌ها سعی بر این است تا با افزایش نفوذ ناپذیری از حرکت اجزای خورنده الکتروولت به سمت فلز جلوگیری شود، ولی وجود میکروحفرات و یا صدمات مکانیکی پوشش امری اجتناب‌ناپذیر است. برای رفع این مشکل از پوشش‌های دارای بازدارنده (حفظاظت فعال) استفاده می‌کنند. ذرات پلی‌آنلین نیز دارای عوامل بازدارنده‌ای در ساختار خود هستند که با آزادسازی آنها از پیشرفت خوردگی جلوگیری و سبب افزایش طول عمر و کاهش هزینه‌های اعمال مجدد می‌شوند. علاوه بر این، مکانیزم حفاظت پلی‌آنلین را هوشمند (آزادسازی کنترل شده بازدارنده) نیز می‌گویند، زیرا آزادسازی بازدارنده با تحریک الکتروشیمیایی پلی‌آنلین از طریق واکنش‌های خوردگی صورت می‌گیرد [۷]. این ویژگی پلی‌آنلین بیشتر مربوط به خواص هدایت الکتریکی آن است و از میان حالت‌های مختلف اکسیداسیونی پلی‌آنلین تنها نوع نمکی^۳ (ES) آن دارای ویژگی هدایت الکتریکی است. شماتیک واکنش تهیه ES از پلی‌آنلین پایه^۴ (EB) در شکل ۱ نشان داده شده است. در این فرایند با اتصال گروه عاملی آنیونی (A⁻) و کاتیونی (H⁺) برای جبران بار از طریق

1. DeBerry

2 - Barrier

3 - Emeraldine salt

4 - Emeraldine base

رزین اپوکسی استر (ساخت شرکت شیمیایی سمن با کد ساخت ۵۰ X ۳۸۱ ALE) و اختلاط با روش متفوق صوت به مدت ۱۵ دقیقه انجام شد. این رنگ سوپاپانسیونی همگن بر روی ورقه‌های فولاد کربنی سندبلاست و شسته شده با استون به ابعاد $100 \times 150 \times 2$ میلی‌متر به روش پاشش به کمک کمپرسور هوا اعمال شد. ضخامت نهایی پوشش بعد از یک هفته خشک شدن در دمای محیط حدود 10 ± 7 میکرون بود. رنگ سبز نهایی پوشش با توجه به رنگ شفاف اولیه رزین، بیان گر عدم تاثیر اپوکسی استر و فرایند خشک شدن آن بر تغییر ساختار NES است. پوشش ساخته شده دارای چستنگی مناسب (5B براساس تست کراس کات^۴) و ضربه‌پذیری بالا (۸۰ سانتی‌متر براساس تست فالینگ بال^۵) بود.

آزمایش‌های بررسی رفتار خوردگی پوشش در محیط‌های با مقدار pH مختلف شامل pH ۱، pH ۴، pH ۷، pH ۱۰ و pH ۱۳ با استفاده از دستگاه اتولب (Aoutolab Potentiostat/Galvanostat PGST30) انجام شد. برای تهیه محلول‌های با pH فوق از pH ۷ HCl و NaOH به ترتیب برای محیط‌های اسیدی و بازی استفاده شد. برای اندازه‌گیری‌های الکتروشیمیایی، از یک سل الکتروشیمیایی دارای سه الکترود شامل فلز پوشش داده شده (به مساحت ۱۲/۵۶ سانتی‌متر مربع) به عنوان الکترود کار، کالومل اشباع به عنوان الکترود مرجع و توری پلاتینی به عنوان الکترود کمکی استفاده شد و اندازه گیری‌های امپدانس در محدوده فرکانسی ۱۰۰ کیلوهرتز تا ۱۰ میلی‌هرتز با دامنه ۱۰ میلی‌ولت به مدت ۹۵ روز انجام شد.

۳- نتایج و بحث

۳-۱- بررسی مکانیزم خوردگی

با استفاده از روش الکتروشیمیایی EIS اطلاعات زیادی درباره مکانیزم خوردگی در طول زمان بدون ایجاد آثار تخریبی بر روی پوشش بدست می‌آید. نتایج حاصل از این روش

خوردگی دارای pH مختلف مورد بررسی قرار گرفته است. مکانیزم ضدخوردگی پوشش با استفاده از نتایج اندازه‌گیری شده و مدارهای الکتریکی مناسب مدل‌سازی شده است.

۲- روش تحقیق

ذرات NES براساس روش میکروامولسیون معکوس سنتز شد. در این روش ۱۰۰ میلی‌لیتر حلal هگزان (خالص، ساخت شرکت Merck) در یک راکتور دارای سیستم چرخش آب برای ثابت نگهداشتن دما ریخته شد. سپس سورفکتانت دودسیل بنزن سولفونیک اسید^۱ (DBSA) ساخت شرکت‌های داخلی با غلظت ۰/۰۰ مولار به سیستم اضافه و به مدت ۱۰ دقیقه توسط اشعه متفوق صوت مخلوط شد. در اینجا علاوه بر نقش سورفکتانت برای عامل دارکردن ذرات پلی‌آنیلین نیز استفاده شده است. مونومرهای آنیلین^۲ (با خلوص ۹۹/۵ درصد، ساخت شرکت Merck) با غلظت ۰/۱ مولار به ظرف واکنش اضافه و سیستم به مدت ۱۵ دقیق تحت اختلاط متفوق صوت قرار گرفت. در این مرحله میکرو‌مایسل‌های تشکیل شده، محلی برای انجام واکنش‌های پلیمریزاسیون بوده و اختلاط متفوق صوت تاثیر بسزایی در اندازه کوچک این مایسل‌ها دارد. برای شروع پلیمریزاسیون، اکسید کننده آمونیوم پراکسی دی سولفات^۳ (APS) (خالص، ساخت شرکت Merck) با غلظت ۰/۱ مولار در ۱۰ میلی‌لیتر آب دیونیزه حل و سپس به صورت قطره قطره به سیستم واکنش در مدت ۲۰ دقیقه اضافه و در تمام این مدت از اختلاط متفوق صوت استفاده شد. تغییر رنگ ظرف واکنش به صورت آبی کم رنگ، آبی پر رنگ و سپس سبز بود که رنگ سبز نهایی نشان‌دهنده سنتز ذرات پلی‌آنیلین در فرم ES است. تصویر برداری از ذرات نشان‌دهنده سنتز نانو ذرات با مورفولوژی کروی و ابعاد کمتر از ۵۰ نانومتر بود [۱۱]. ساخت پوشش براساس اضافه کردن ۱ درصد وزنی NES به

^۴- Cross cut

^۵- Falling ball

^۱- Dodecylbenzenesulfonicacid

^۲- Aniline

^۳- Ammonium peroxydisulfate

کنند. برای سیستم های خوردگی دارای سرعت نفوذ کمتر از سرعت واکنش های انتقال بار، مکانیزم خوردگی تحت کنترل پدیده نفوذ قرار می گیرد.

نتایج بررسی نمودارهای نایکوئیست در سایر محیط های خوردگی نشان داد که به جز در ۱۳ pH، مکانیزم خوردگی در سایر محیط ها از نوع پوشش intact است. در محیط ۱۳ pH مکانیزم خوردگی در فاصله زمانی کوتاهی از شروع غوطه وری (بعد از ۵ ساعت) به خوردگی با مکانیزم تحت کنترل سینتیک تبدیل می شود.

۳-۲- نحوه مدل سازی فرایند خوردگی

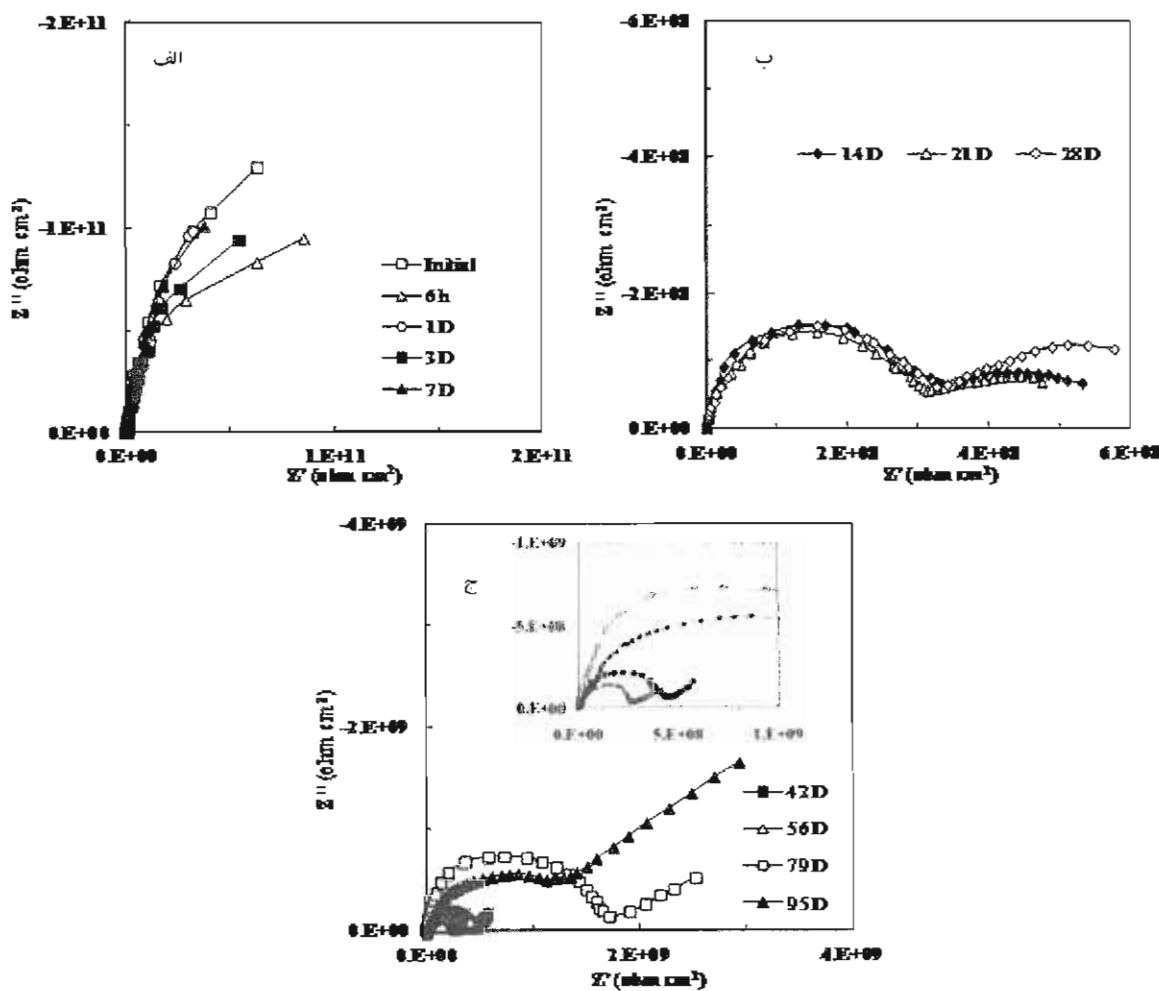
برای بررسی کمی فرایند خوردگی از شبیه سازی سیستم توسط مدارهای معادل الکتریکی استفاده می شود. بدین منظور المان های الکتریکی مقاومت، خازن و سلف با استفاده از فیزیک سیستم خوردگی و شکل نمودارهای نایکوئیست به گونه ای به یکدیگر متصل می شوند که انطباق مناسبی بین نتایج اندازه گیری شده و مدل سازی بوجود آید. در این تحقیق، از سه مدار معادل الکتریکی در شکل های ۳-الف تا ۳-ج به ترتیب برای شبیه سازی رفتار خوردگی برای پوشش intact، پوشش defected با مکانیزم کنترل سینتیک و نفوذی استفاده می شود. در همه این مدل ها المان های مقاومتی پوشش (R_c) و عنصر فاز ثابت (CPE_c) مربوط به امپدانس پوشش است. المان CPE_e برای پیش بینی بهتر رفتار خازنی پوشش های دارای انحراف از رفتار خازنی ایده آل استفاده می شود. مقدار امپدانس این المان از رابطه زیر محاسبه می شود:

$$Z_{CPE}(\omega) = 1/(Y_0(\omega j)^n) \quad (1)$$

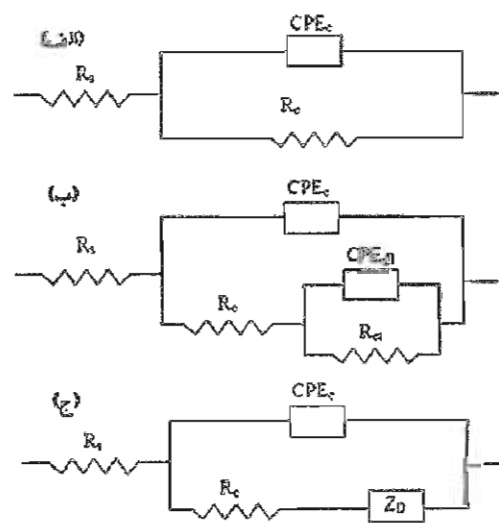
در این رابطه ۷۵ ضریب ادمیتانس (معادل هدایت الکتریکی)، ω فرکانس زاویه ای بر حسب رادیان بر ثانیه، n عدد م بهم و مقدار آن برابر $-1/\sqrt{-1}$ و n توان ثابت زمانی است. با توجه به این رابطه، ظرفیت خازنی خالص پوشش از رابطه زیر محاسبه می شود:

$$C = Y_0(\omega_m)^{n-1} \quad (2)$$

به صورت نمودارهای نایکوئیست و بود نشان داده می شود که در مقایسه نمودارهای نایکوئیست اطلاعات بیشتری درباره مکانیزم خوردگی ارائه می دهد. در این مقاله نتایج اندازه گیری های EIS برای پوشش های غوطه ور در محیط های با pH مختلف مورد بررسی قرار گرفت که به صورت نمونه این نمودارها برای پوشش غوطه ور در محیط اسیدی با ۱ pH در شکل ۲ نشان داده شده است. همان طور که در این شکل مشاهده می شود در طول ۹۵ روز غوطه وری، سه نوع نمودار نایکوئیست با شکل متفاوت برای پوشش بدست آمده است. شکل این نمودارها بیان گر مکانیزم های متفاوت خوردگی برای پوشش در طی زمان غوطه وری است. شکل منحنی نایکوئیست در نمودار ۲-الف (یک شبه نیم دایره غیر کامل) تا ۷ روز پس از غوطه وری، بیان گر عدم آسیب دیدگی پوشش (intact stage) است، به عبارتی دیگر در این بازه زمانی یون های خورنده قادر به نفوذ از درون پوشش و رسیدن به سطح فلز نیستند و عملکرد ضدخوردگی پوشش بیشتر به خاطر خواص ممانتی آن است. از روز چهاردهم تا بیست و هشتم غوطه وری شکل نمودار نایکوئیست (دو شبه نیم دایره) در نمودار ۲-ب نشان دهنده مرحله آسیب دیده (defected) پوشش است. در این نمودار نیم دایره اول در فرکانس های بالا و دوم در فرکانس های پایین به ترتیب مربوط به مقاومت پوشش و مقاومت انتقال بار و واکنش های خوردگی است. با عبور یون های خورنده از پوشش و رسیدن به سطح فلز، واکنش خوردگی و انحلال یون های فلزی شروع می شود و پیشرفت خوردگی تحت کنترل مکانیزم سینتیکی است. پس از روز بیست و هشتم دو قسمتی بودن شکل منحنی های نایکوئیست (یک شبه نیم دایره همراه یک خط راست) در نمودار ۲-ج نشان دهنده قرار گرفتن پوشش در مرحله defected است که خط راست در قسمت دوم این نمودار بیان گر تاثیر پدیده نفوذ^۱ بر خوردگی است. به عبارتی دیگر برای پیشرفت خوردگی، یون های خورنده باید از مرز پوشش - الکتروولیت به مرز پوشش - فلز برسند و از طرفی دیگر محصولات خوردگی نیز این مسیر را بر عکس طی

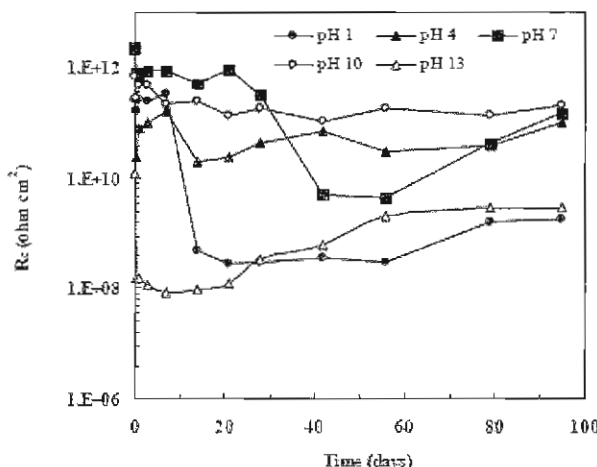


شکل ۲: نمودارهای نایکوئیست پوشش در محیط ۱ pH برای بازه (الف) پوشش سالم؛ پوشش آسیب دیده تحت کنترل مکانیزم (ب) سیستمی و (ج) نفوذی.



شکل ۳: مدل‌های مدار معادل برای پوشش (الف) سالم، آسیب دیده تحت کنترل مکانیزم (ب) سیستمی و (ج) نفوذی.

شدید، در محیط‌های pH 4، pH 7 و pH 10 به دلیل پایین بودن غلظت عوامل خورنده و توانایی پوشش در حفاظت فعال، نقایص پوشش جبران شده و پوشش مانند یک پوشش intact عمل می‌کند.



شکل ۴: تغییرات مقاومت پوشش (R_e) در محیط‌های خوردگی با pH مختلف.

با توجه به شکل ۴، در ابتدای غوطه‌وری ترتیب تغییر مقاومت پوشش بر حسب pH به صورت زیر است:

$$\text{pH } 7 > \text{pH } 10 > \text{pH } 4 > \text{pH } 1 > \text{pH } 13$$

این نوع تغییرات می‌تواند به صورت مستقیم به نوع و غلظت عوامل خورنده مربوط شود، به طوری که در محیط خوش (pH 7)، با گذشت ۲۸ روز از شروع غوطه‌وری، اندازه مقاومت پوشش در محدوده 10^{11} اهم در سانتی‌مترمربع قرار دارد که نشان دهنده مقاومت بسیار خوب پوشش به دلیل عدم حضور یون‌های خورنده قوی مانند هیدروکسید و یا کلر است. در محیط pH 13، مقاومت پوشش در بازه زمانی بسیار کوتاهی (حدود ۵ ساعت) با ۴ مرتبه توانی کاهش شدید به حدود 10^8 اهم در سانتی‌مترمربع می‌رسد که مطابق با مشاهدات نیکو و همکارانش [۱۰] است. این رفتار به تاثیر محیط قلایی بر ساختار پوشش و تبدیل ساختار ES به حالت پایه ای EB مربوط می‌شود. این تغییر ساختاری در پوشش با نفوذ یون‌های خورنده هیدروکسید و کاهش چسبندگی پوشش همراه است. در محیط pH 10 به دلیل غلظت بسیار

در این رابطه $\omega_m = (\frac{1}{R Y_0})^{\frac{1}{n}}$ فرکانس زاویه‌ای در مقدار حداقل قسمت موهومنی امپدانس ("Z") است که از رابطه زیر محاسبه می‌شود:

$$\omega_m = (\frac{1}{R Y_0})^{\frac{1}{n}} \quad (3)$$

در مدار مربوط به فرایند خوردگی تحت کنترل سینتیک (شکل ۳-ب)، المان‌های R_{ct} و CPE_{dl} به ترتیب مربوط به مقاومت انتقال بار و ثابت دی الکتریک لایه دوگانه در مرز پوشش - فلز است که مقدار ظرفیت خازنی لایه دوگانه به صورت مشابه از معادلات ۱ تا ۳ محاسبه می‌شود. در مدار مربوط به کنترل نفوذی فرایند خوردگی (شکل ۳-ج)، مقاومت مربوط به المان Z_D براساس قانون دوم انتقال جرم فیک و با توجه به نوع شرط مرزی محاسبه می‌شود.

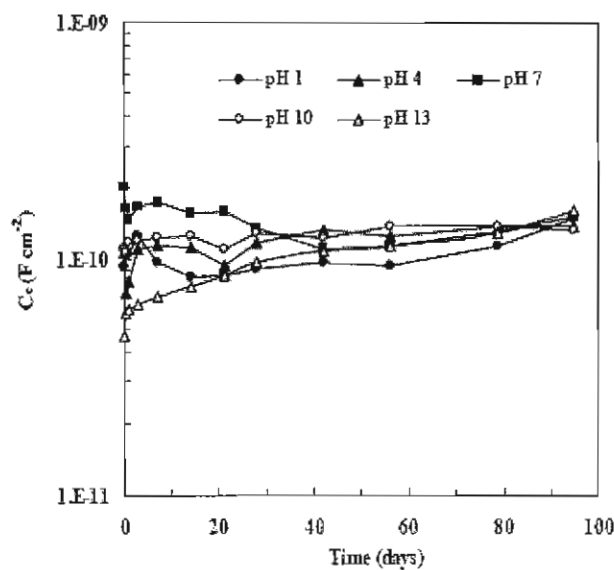
المان مقاومتی R_s مربوط به مقاومت الکتروولیت است که در این تحقیق با توجه به کوچک بودن مقدار آن در مقایسه با سایر المان‌های مقاومتی از آن صرف نظر شده است. براساس نمودارهای نایکوئیست و مدل‌های الکتریکی، رفتار ضدخوردگی پوشش‌های غوطه‌ور در محیط‌های با pH مختلف با استفاده از نرم افزار ZView مدل‌سازی شد و نتایج به دست آمده در قسمت بعد بررسی خواهد شد.

۳-۳- تحلیل کمی نتایج مدل‌سازی خوردگی

همان‌طور که قبل بحث شد به جز در محیط‌های خوردگی pH 13 و pH 1 در سایر محیط‌ها پوشش در تمام زمان غوطه‌وری در مرحله intact قرار دارد. بنابراین، در اینجا نتایج کمی خوردگی تنها با استفاده از پارامترهای مقاومت (R_c) و ظرفیت (C_c) پوشش مقایسه شده است.

تغییر مقاومت پوشش در pH های مختلف بر حسب زمان در شکل ۴ نشان داده شده است. همان‌طور که در این شکل دیده می‌شود پس از شروع غوطه‌وری، مقاومت پوشش در همه محیط‌ها به دلیل نفوذ عوامل خورنده به درون پوشش با یک کاهش نسبتاً شدید همراه است. براین اساس تا قبل از این افت شدید مقاومت، پوشش intact بوده و مکانیزم حفاظت بیشتر به خواص ممانعی پوشش مربوط می‌شود. بعد از این افت

است و امکان افزایش تا مقادیر بیشتر از مقدار آن در محیط pH 10 نیز با افزایش زمان اندازه گیری وجود دارد، ولی این افزایش با یک شیب کند نسبت به زمان انجام شده است. دلیل این رفتار را می‌توان به کم بودن عوامل خورنده در الکتروولیت مرتبط دانست، زیرا عوامل خورنده علاوه بر تاثیر منفی بر خوردگی فلزات می‌توانند سبب تحریک الکتروشیمیایی بیشتر ذرات nES در آزادسازی بازدارنده DBSA و افزایش مقاومت پوشش شود.



شکل ۵: تغییرات ظرفیت پوشش (C_c) در محیط‌های خورنده با pH مختلف.

تغییرات ظرفیت خازنی پوشش (C_c) نسبت به زمان در محیط‌های خورنده با pH مختلف در شکل ۵ نشان داده شده است. بررسی نتایج نشان می‌دهد که در محیط‌های خورنده مختلف، رابطه اندازه C_c با مقاومت یک رابطه مستقیم است، یعنی در محیط دارای مقاومت بیشتر، ظرفیت خازنی آن نیز بیشتر است. عوامل مختلفی مانند تاثیر pH بر ذرات nES، خواص ممانعی، حفاظت فعال، میزان جذب اجزای الکتروولیت درون پوشش و خواص فیزیکی پوشش بر تغییرات ظرفیت خازنی پوشش موثر است که به صورت کمی با رابطه زیر بیان می‌شود:

$$C_c = \frac{\epsilon \epsilon_0 A}{d} \quad (4)$$

کم یون‌های هیدروکسید اثر آن بر پوشش و تغییرات ساختمانی ES چندان موثر نیست.

شکل ۴ نشان می‌دهد در همه محیط‌ها مقاومت پوشش بعد از یک کاهش شدید تا انتهای زمان غوطه وری افزایش می‌یابد، در حالی که به طور معمول انتظار این است که مقاومت پوشش به طور پیوسته با زمان کاهش یابد. این رفتار جالب بهوضوح تایید کننده نقش حفاظت فعال ذرات nES در برابر خوردگی است. عبور مولکول‌های الکتروولیت از پوشش و رسیدن به سطح فلز سبب تحریک الکتروشیمیایی ذرات nES و آزادسازی بازدارنده می‌شود. در این فرایند ES به دلیل داشتن خاصیت هدایت الکتریکی، الکترون را در مرز فلز - پوشش از فلز دریافت و در مرز پوشش - الکتروولیت در اختیار عوامل خورنده قرار می‌دهد و درجهت عکس عامل بازدارنده را در سطح فلز و یا مناطق آسیب‌دیده از پوشش رها می‌کند [۱۳ و ۱۴]. واکنش شیمیایی آنیون‌های بازدارنده DBSA با کاتیون‌های فلزی Fe^{2+} سبب ایجاد یک لایه پایدار ثانویه در سطح فلز و جلوگیری از خوردگی بیشتر آن می‌شود. در این مرحله ترتیب تقریبی مقاومت پوشش بر حسب pH به صورت زیر است:

$$\text{pH } 10 > \text{pH } 4 > \text{pH } 7 > \text{pH } 1$$

بنابراین می‌توان گفت با کاهش غلظت یون‌های خورنده توانایی پلی آنیلین در حفاظت از فلز افزایش می‌یابد، اما بیشتر بودن مقاومت پوشش در محیط‌های بازی نسبت به اسیدی (با غلظت یکسان عوامل خورنده) را می‌توان به ویژگی لایه‌های اکسید فلزی در این محیط‌ها مرتبط دانست، زیرا براساس نمودارهای پوربه^۱ اکسید آهن در محیط بازی پایدار و در محیط‌های اسیدی ناپایدار است [۱۵]. علاوه بر این، به دلیل حفاظت ذرات nES در بستر رزین، تاثیر منفی محیط بازی بر ساختار آن جز در شروع غوطه وری چندان زیاد نیست و احتمالاً غلظت یون‌های هیدروکسیل به دلیل خشی شدن با ذرات nES نیز کاهش یافته است.

با توجه به شکل ۴ می‌توان فهمید که مقاومت پوشش در محیط pH 7 در انتهای غوطه وری بیشتر از محیط pH 4 شده

یک درصد از ذرات nES به رزین اپوکسی استر ساخته شد. تاثیر pH محیط بر رفتار ضد خوردگی این پوشش با استفاده از مدل سازی توسط مدارهای معادل الکتریکی نشان می دهد: با افزایش غلظت عوامل خورنده در محیط خوردگی مقاومت پوشش به دلیل کاهش خواص ممانعتی کاهش یافته است. بنابراین، بیشترین و کمترین مقاومت پوشش به ترتیب مربوط به محیط های pH 7 و pH 13 است. تاثیر محیط های بازی در غلظت های یکسان عوامل خورنده بر کاهش مقاومت پوشش بیشتر است. با شروع فرایند خوردگی، مکانیزم حفاظت فعال ذرات nES به صورت هوشمند سبب آزادسازی بازدارنده DBSA شده است. این پدیده سبب افزایش و یا جلوگیری از کاهش بیشتر مقاومت پوشش از طریق ایجاد یک لایه محافظ ثانویه شده است. تغییرات ظرفیت خازنی پوشش در محیط های مختلف به خوبی تایید کننده رفتارهای ضد خوردگی پوشش در طی زمان غوطه وری است. نتایج نشان دهنده مقاومت بالای پوشش در محیط های pH 7، pH 4 و pH 10 است.

در این رابطه، A مساحت موثر خازنی پوشش، E ثابت دی الکتریک پوشش، E_0 یک ثابت با مقدار $8/85 \times 10^{-14}$ فاراد بر سانتی متر و d ضخامت پوشش است. وجود ذرات nES سبب افزایش انتقال بار در پوشش و افزایش ثابت دی الکتریک و درنتیجه ظرفیت خازنی پوشش می شود. بر این اساس به دلیل تاثیر محیط های خوردگی بر ذرات nES، در زمان های اولیه کمترین ظرفیت پوشش در محیط pH 13 و بیشترین در محیط pH 7 ایجاد شده است (شکل ۵). علاوه بر این، ظرفیت پوشش در زمان های انتهایی در بیشتر محیط ها افزایش یافته است که دو عامل می توانند بر آن موثر باشد: اولاً نفوذ اجزای الکترولیت درون پوشش سبب افزایش ثابت دی الکتریک می شود [۱۶] و ثانیاً مکانیزم حفاظت فعال nES سبب ترمیم منافذ پوشش و افزایش سطح آن و در نتیجه افزایش ظرفیت پوشش با توجه به معادله ۴ می شود.

۴- نتیجه گیری

ذرات پلی آنیلین در حالت ES و در ابعاد کمتر از ۵۰ نانومتر با موفقیت ستر شد. نانو پوشش هوشمند بر اساس اضافه کردن

مراجع

1. D.W. DeBerry, Modification of the electrochemical and corrosion behavior of stainless-steels with anelectroactive coating, Journal of The Electrochemical Society, Vol. 132, 1985, Pp. 1022–1026.
2. J.C. Chiang, A.G. MacDiarmid, Polyaniline: Protonic acid doping of the emeraldine form to the metallic regime, Synthetic Metals, Vol. 13, 1986, Pp. 193–205.
3. B. Wessling, Dispersion as the link between basic research and commercial applications of conductive polymers (polyaniline), Synthetic Metals, Vol. 93, 1998, Pp. 143–154.
4. S. Souza, J.E. Pereira da Silva, S.I. Co'rdoaba de Torresi, M.L.A. Temperini, R.M. Torresia, Polyaniline based acrylic blends for iron corrosion protection, Electrochemical and Solid-State Letters, Vol. 4, No. 8, 2011, B27-B30.
5. L. Zhong, S. Xiao, J. Hu, H. Zhu, F. Gan, Application of polyaniline to galvanic anodic protection on stainless steel in H_2SO_4 solutions, Corrosion Science, Vol. 48, 2006, Pp. 3960–3968.
6. Y. Chen, X.H. Wang, J. Li, J.L. Lu, F.S. Wang, Long-term anticorrosion behaviour of polyaniline on mild steel, Corrosion Science, Vol. 49, 2007, Pp. 3052–3063.
7. M. Kendig, M. Hon, L. Warren, Smart corrosion inhibiting coatings, Progress in Organic Coating, Vol. 47, 2003, Pp. 183–189.

8. J.E. Pereira da Silva, S.I. Córdoba de Torresi, R.M. Torresi, Polyaniline acrylic coatings for corrosion inhibition: the role played by counter-ions, *Corrosion Science*, Vol. 47, 2005, Pp. 811–822.
9. E. Akbarinezhad, M. Ebrahimi, H.R. Faridi, Corrosion inhibition of steel in sodium chloride solution by undoped polyaniline epoxy blend coating, *Progress in Organic Coating*, Vol. 64, 2009, Pp. 361–364.
10. M.E. Nicho, H. Hu, J.G. Gonzalez-Rodriguez, V.M. Salinas-Bravo, Protection of stainless steel by polyaniline films against corrosion in aqueous environments, *Journal of Applied Electrochemistry*, Vol. 36, 2006, Pp. 153–160.
11. Y.G. Han, T. Kusunosea, T. Sekinob, One-step reverse micelle polymerization of organic dispersible polyaniline nanoparticles, *Synthetic Metals*, Vol. 159, 2009, Pp. 123–131.
12. R. Arefinia, A. Shojaei, H. Shariatpanahi, J. Neshati, Anticorrosion properties of smart coating based on polyaniline nanoparticles/epoxy-ester system, *Progress in Organic Coating*, submitted article.
13. P.J. Kinlen, D.C. Silverman, C.R. Jeffreys, Corrosion protection using polyaniline coating formulations, *Synthetic Metals*, Vol. 85, 1997, Pp. 1327–1332.
14. G. Williams, A. Gabriel, A. Cook, H.N. McMurraya, Dopant effects in polyaniline inhibition of corrosion-driven organic coating cathodic delamination on iron, *Journal of The Electrochemical Society*, Vol. 153, 2006, Pp. 425–433.
15. A.J. Dominis, G.M. Spinks, G.G. Wallace, Comparison of polyaniline primers prepared with different dopants for corrosion protection of steel, *Progress in Organic Coating*, Vol. 48, 2003, Pp. 43–49.
16. D.M. Brasher, A.H. Kingsbury, Electrical measurements in the study of immersed paint coatings on metal. I. Comparison between capacitance and gravimetric methods of estimating water-uptake, *Journal of Applied Chemistry*, Vol. 4, 1954, Pp. 62–72.